

КОМПЬЮТЕРНАЯ МОДЕЛЬ ПУЗЫРЬКОВОГО КИПЕНИЯ

АННОТАЦИЯ

Компьютерная модель на базе системы обыкновенных дифференциальных уравнений воспроизводит экспериментальные данные по кипению в широком диапазоне давлений. Плотность центров парообразования определена на основе фрактального представления шероховатых поверхностей нагрева.

1. ВВЕДЕНИЕ

Известен список отдельных механизмов пузырькового кипения: нестационарный прогрев жидкости при возобновляющемся контакте со стенкой, зарождение пузырьков на активных центрах парообразования, рост пузырьков в перегретой жидкости, испарение тонкой пленки под пузырьками.

Из этих элементарных механизмов конструируется комплексная компьютерная модель пузырькового кипения, способная воспроизвести экспериментальные данные в широком диапазоне параметров, в том числе давления [1]. Для расчета плотности центров парообразования N предлагается [1] *фрактальное* представление шероховатых поверхностей нагрева с *фрактальной размерностью* до 3.

Существуют три характерных размера при пузырьковом кипении: критический радиус пузырьков R_{cr} , расстояние между активными центрами парообразования $L \sim 1/\sqrt{N}$, отрывной радиус пузырьков R_d . Для интенсивного кипения имеет место соотношение масштабов: $R_{cr} \ll L \ll R_d$, следствием чего будут многочисленные слияния пузырьков, прежде чем они достигнут отрывного размера.

Ранее [2,3] мы рассмотрели статистику капельной конденсации для аналогичных процессов непрерывного роста (за счет фазового превращения), перемежающегося скачкообразным изменением размеров при слияниях. Здесь используется основной результат статистической модели, согласно которому популяция пузырьков с размерами порядка расстояния L между центрами парообразования является *наиболее представительной*, т.е. при $R \approx L$ имеется *максимум* на функции распределения пузырьков по размерам. Поэтому можно ограничиться анализом роста пузырьков указанных размеров $R \approx L$. В простейшей реализации принимается, что пузырьки размером $R < L$ растут непрерывно благодаря испарению, а при достижении *характерного размера* $R_m = L$ происходят многочисленные слияния, поверхность высвобождается, возобновляется контакт стенки с холодной жидкостью и процесс повторяется.

Тепловой поток q к жидкости принимается постоянным, что соответствует кипению при электро-

обогреве. На стенке имеют место температурные пульсации. *Время ожидания* t_{wait} понимается как период, в течение которого перегрев жидкости $\theta(t)$ достигает уровня $\theta(t_{wait})$, определяющего актуальную плотность центров парообразования N .

При последующем возникновении и росте пузырьков температурное поле $\theta(x, t)$ на поверхности становится пространственно неоднородным. Глобальное усреднение дает среднюю величину перегрева стенки θ_m и среднюю величину коэффициента теплоотдачи $\alpha = q / \theta_m$. Перегрев, достигаемый за время t_{wait} , $\theta(t_{wait}) = \theta_m$, определяет плотность активных центров N .

2. ПЕРЕГРЕВ ЖИДКОСТИ

Нестационарная теплопроводность в полуограниченном массиве применяется как модель теплоотвода при *возобновляющемся контакте* «холодной» (при температуре T_s) жидкости со стенкой. Известное аналитическое решение при заданном тепловом потоке представляется ступенчатым профилем: перегрев $\theta(t)$ сосредоточен в пределах слоя *толщины потери энthalпии* δ_w :

$$\delta_w(t) = \sqrt{\frac{\pi}{4} a_l t}, \quad q = \left(\frac{\pi \lambda_l}{4 \delta_w(t)} \right) \theta(t), \quad (1)$$

где величина в скобках есть термическая проводимость, зависящая от времени контакта и теплофизических свойств кипящей жидкости.

Аналогичным способом рассчитывается теплоподвод через сферическую границу пузырька с перегретой жидкостью. Однако для толщины оболочки $\delta_{sh}(t)$ составляется специальное дифференциальное уравнение (9).

3. БЕЗРАЗМЕРНЫЕ ВЕЛИЧИНЫ

Безразмерное представление получают, используя в качестве масштабов максимальный радиус пузырька R_m и приведенную скорость парообразования $w = q/h_{vl}\rho_v$:

$$R_r \equiv \frac{R}{R_m}; t_r \equiv \frac{t w}{R_m}; \delta_{sh-r} \equiv \frac{\delta_{sh}}{R_m}; \Theta \equiv \frac{\theta \lambda_l}{q R_m}, \quad (2)$$

$$Re_l \equiv \frac{w R_m}{\nu_l} = \frac{q R_m}{h_{vl} \rho_v \nu_l}; \Theta Re_l = \theta \frac{\rho_l c_{pl}}{\rho_v h_{vl} Pr_l}, \quad (3)$$

где индексы «v» и «l» означают пар и жидкость; h_{vl} – теплота парообразования. Вариации Re_l значительны: от $Re_l \gg 1$ при умеренных давлениях до $Re_l \ll 1$ при высоких давлениях кипения.

4. ПЛЕНКА ПОД ПУЗЫРЬКОМ

Для режимов кипения с *большими значениями* Re_l образование остаточной пленки под пузырьком пара определяется взаимодействием инерционных и вязких эффектов в пристенном течении жидкости, вызванном ростом пузырька. Толщина жидкой пленки, отождествленная с *толщиной потери импульса* радиального пограничного слоя под растущим пузырьком, оценивается по уравнению [1, 4]:

$$\delta_{F0}(x) = C\sqrt{v_l \cdot t(R=x)}; \quad C = 0.383, \quad (4)$$

где $t(R=x)$ – момент времени, в который край пузырька проходит над точкой с координатой x . Изменение толщины пленки вследствие испарения, как и размер сухого пятна, определяется уравнением:

$$\delta_F(x, t) = -\frac{q}{h_{vl}\rho_l}(t-t(R=x)) + \delta_{F0}(x). \quad (5)$$

В области *малых чисел* Re_l (кипение при большом давлении) остаточный слой жидкости формируется при *ползущем* Пуазейлевском течении вязкой жидкости, вытесняемой растущим пузырьком пара. Модельная задача такого рода описывается уравнением:

$$\frac{\partial h}{\partial(t/Ca)} = -\frac{\partial}{\partial x} \left(\frac{h^4}{\varepsilon + h} \frac{\partial}{\partial x} \left(\frac{\partial^2 h}{\partial x^2} \right) \right), \quad (6)$$

см., например, [5], где h и t – безразмерные толщина пленки и время; $Ca = 3\mu w/\sigma$ – капиллярное число, соотношение вязких и капиллярных сил, малая величина для режимов кипения при высоком и умеренном давлении; $\varepsilon \rightarrow 0$ – параметр регуляризации.

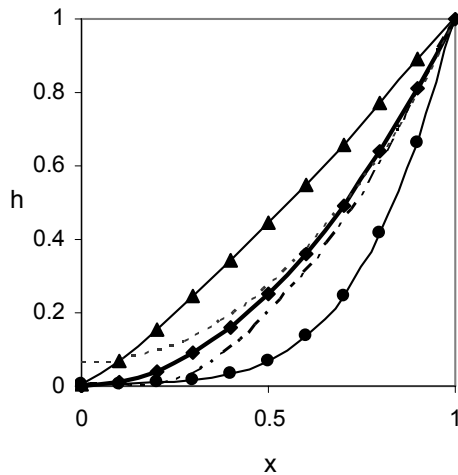


Рис. 1. Релаксация сплюсненного (●) или вытянутого (▲) пузырька к равновесной (◆) форме (вертикальная ось – ось симметрии)

Численное интегрирование (6) показывает, что значительные деформации равновесного профиля исчезают благодаря действию капиллярного давления за время порядка $t/Ca \sim 1$ (Рис. 1, штрихпунктирная и пунктирная линии соответственно для первоначально сильно сплюсненного или вытянутого пузырька). Эта оценка в размерном виде означает, что при $Ca \ll 1$ время релаксации много меньше характерного времени роста пузырька R_m/w .

Аналогичный результат получается для *перемещающегося* с постоянной скоростью двухфазного фронта, имитирующего рост пузырька. Полагая, что эволюция сводится к масштабированию, переходят от (6) к обыкновенному дифференциальному уравнению четвертого порядка:

$$Ca(H(\eta) - \eta H'(\eta)) = -\left(H(\eta)^3 K'(\eta)\right)', \quad (7)$$

где H , K , η – автомодельные переменные, соответственно толщина пленки, кривизна поверхности и координата. В результате численного интегрирования (7) получено, что при $Ca = 5$ (поверхностное натяжение относительно мало) имеют место заметные отклонения от равновесного круглого профиля (Рис. 2). Наблюдается своеобразное аквапланирование: жидкость не успевает вытекать из-под надвигающегося профиля растущего пузырька. Однако при $Ca = 0.1$ отклонения становятся уже незаметными.

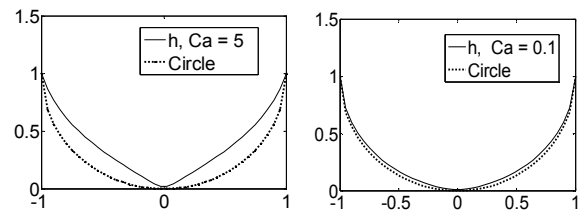


Рис. 2. Автомодельные решения

Эти расчеты служат демонстрацией того, как при $Ca \ll 1$ формируется квазистатический, сферический пузырек у стенки. Напомним, что одновременно принимается соотношение порядка $Re_{loc} \ll 1$. В компьютерной программе применялась следующая логическая схема. Если $Re_{loc} > Re_b$, то использовалась полусферическая конфигурация пузырька с инерционно-вязкостной пленкой, иначе принималась сферическая конфигурация. Граничное значение $Re_b \approx 1$; локальное значение Re_{loc} вычислялось по мгновенной скорости роста и размеру пузырька.

5. РОСТ ПУЗЫРЬКА

Тепловой рост пузырька представлен системой двух обыкновенных дифференциальных уравнений:

$$\frac{dt_r}{dR_r} = \frac{\delta_{sh-r}}{C_w \delta_{sh-r} + C_{sh} \Theta(t_r) D_\delta}; \quad (8)$$

$$\frac{d\delta_{sh-r}}{dR_r} = -2 \frac{\delta_{sh-r}}{R_r} + \frac{D_\delta \left(\frac{1}{Re_l Pr_l} - \rho_{v-l} \Theta(t_r) \right)}{C_w \delta_{sh-r} + C_{sh} \Theta(t_r) D_\delta}. \quad (9)$$

Независимой переменной является радиус пузырька $R_r = 0 \div 1$, зависимыми переменными – время роста t_r и толщина тепловой оболочки δ_{sh-r} . Теплота передается пузырьку через его основание от стенки и через сферическую поверхность пузырька (или ее часть при $R > \delta_w$) от перегретой жидкости. Уравнение (9) описывает эволюцию толщины тепловой оболочки пузырька δ_{sh-r} . Дополнительные комментарии к системе (8), (9) можно найти в [1].

При $Re_l \ll 1$ и для $R_r \sim 1$ возможен перенос тепла от стенки к пузырьку в режиме квазистационарной теплопроводности, как показывает численное решение для модельной задачи со сферой фиксированного радиуса (Рис. 3). Градиенты температуры и тепловые потоки локализованы в клиновидной зоне у основания пузырька. Такое распределение характерно для относительно крупных пузырьков $R/R_m \geq 0.2$. Полученные числовые аппроксимации включены в компьютерную модель для соответствующих режимов кипения.

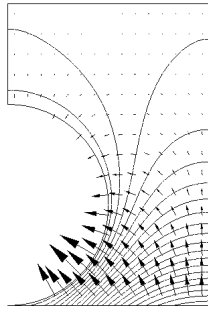


Рис. 3. Теплопроводность вблизи сферического пузырька на стенке

6. ФРАКТАЛЬНАЯ ПРИРОДА ПОВЕРХНОСТИ

Для плотности центров $N, м^{-2}$, анализ размерностей приводит к соотношению Лабунцова [6]: $N \sim R_{cr}^{-2}$, откуда следует $L \sim R_{cr}$, где коэффициент пропорциональности должен быть большим числом, зависящим от степени шероховатости.

Величину N можно понимать как число структурных элементов шероховатой поверхности с некоторым характерным размером \mathfrak{R} . Измерения площади адсорбционными методами выявили *фрактальный характер* различных поверхностей, в соответствии с уравнением (10) (см., например, [7]):

$$N \propto \mathfrak{R}^{-D}, \quad (10)$$

где D – фрактальная размерность, $2 \leq D \leq 3$. В случае кипения нас интересуют активные центры парообразования, и характерный размер \mathfrak{R} может быть отождествлен с R_{cr} . Уравнение (10) применяется теперь для плотности активных центров N и критического радиуса R_{cr} . При $D = 2$, т.е. для обычных, двумерных поверхностей, мы получаем снова формулу Лабунцова $N \sim R_{cr}^{-2}$.

В общем случае из соотношений $L \sim 1/\sqrt{N}$ и (10) следует уравнение, учитывающее фрактальный характер поверхности нагрева:

$$L = C_{rough} \left(\frac{R_{cr}}{R_s} \right)^{\left(\frac{D-2}{2} \right)} R_{cr}, \quad (11)$$

где R_s – линейный масштаб для шероховатости, C_{rough} – безразмерный коэффициент. Фрактальная размерность D принималась равной 2 или 3 в последующих вариантных расчетах.

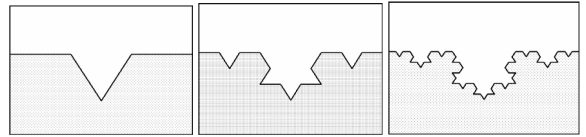
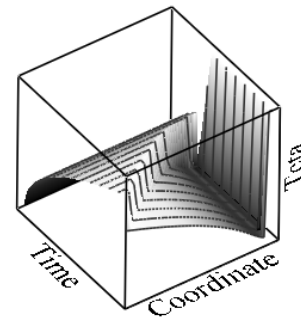


Рис. 4. Треугольная кривая Коха

Пример фрактальной поверхности, известной как треугольная кривая Коха (Рис. 4) с $D = 2.26$, показывает, что с уменьшением размера зародышевых пузырьков R_{cr} , т.е. с увеличением перегрева и давления, поверхность представляется все более «изрезанной», «шероховатой».

7. ЧИСЛЕННЫЙ АНАЛИЗ

Алгоритм вычислений, реализованный в математическом пакете Mathcad [8], кратко представляется следующим образом. Задается Re_l как основной режимный параметр. При некотором пробном значении времени ожидания t_{wait} рассчитывается перегрев, расстояние между центрами, выполняется численное интегрирование системы (8), (9), определяется время роста пузырьков, рассчитывается температурное поле $\theta(x,t)$ на поверхности (Рис. 5).



(X, Tau, Teta)

Рис. 5. Пространственно-временное распределение перегрева стенки

Специальная вычислительная процедура находит значение t_{wait} , которое удовлетворяет обсуждаемому во введении условию $\theta(t_{wait}) = \theta_m$.

Две характерные конфигурации с полусферическим и сферическим пузырьком представлены на Рис. 6. Затемненная область соответствует перегретой жидкости.

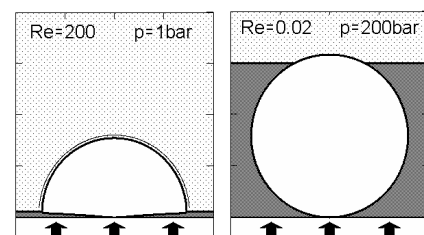


Рис. 6. Кадры анимации для нормального и высокого давления

8. РЕЗУЛЬТАТЫ

Приведем результаты расчета коэффициента теплоотдачи при кипении воды для давлений 1, 100 и 200 бар (Рис. 7). Фрактальная размерность D была равна 2 (пунктирные линии с мелкими затемненными символами) или 3 (сплошные линии с мелкими затемненными символами). Постоянная C_{rough} (11) в обоих случаях юстировалась по экспериментам [9, 10] при атмосферном давлении (2300 при $D=2$, 1600 при $D=3$). Масштаб R_s принят равным 10^{-6} м и не оптимизировался. Граничное число Рейнольдса было принято равным единице, $Re_b = 1$.

Экспериментальные данные [9, 10] представлены тремя кластерами точек (Рис. 7) для различных давлений. Видно, что компьютерная модель правильно воспроизводит характер зависимости теплоотдачи от плотности теплового потока и от давления. Однако для $D=2$ расхождения с экспериментом при повышенном давлении остаются значительными, в то время как при $D=3$ компьютерная модель хорошо воспроизводит экспериментальные данные при всех давлениях.

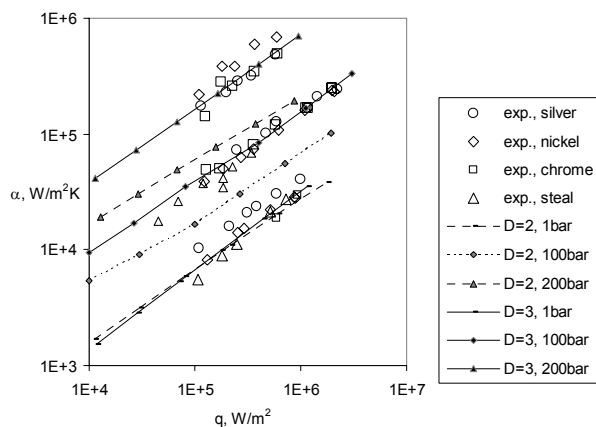


Рис. 7. Сравнение компьютерной модели с экспериментальными данными

Расчетные результаты были сопоставлены также с теорией Лабунцова [11], которая в идейном отношении была исходным пунктом при построении нашей компьютерной модели (подробнее см. в [1]).

Общий вывод состоит в том, что фрактальное описание поверхности нагрева улучшает расчетную модель, благодаря адекватному описанию плотности центров парообразования.

В заключение приведем сравнение внутренних характеристик модели с прямыми измерениями температурных пульсаций при кипении воды при атмосферном давлении.

Поскольку координата закладки микротермопары в [12] не коррелирована с расположением пузырьков, опытные данные сопоставлялись с мгновенными, но осредненными по поверхности расчетными значениями температуры стенки (Рис. 8). Демпфирование температурных пульсаций в стенке учитывалось посредством численного интегрирования нестационарного уравнения теплопроводности с равномерно распределенными объемными источниками, имитирующими Джоулево тепловыделение в нихромовом нагревателе. Удовлетворительное

согласование внутренних характеристик, а именно, периода пульсаций, общей конфигурации сигнала и, с учетом демпфирующего эффекта, амплитуды подтверждает модельные представления.

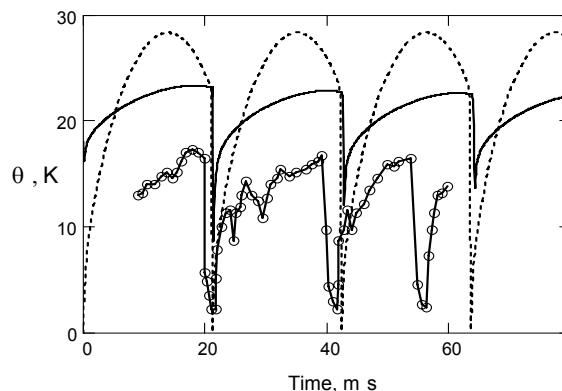


Рис. 8. Температурные пульсации: эксперимент [12] – маркированная кривая, модель – пунктирная линия, модель + демпфирование – сплошная кривая

СПИСОК ОБОЗНАЧЕНИЙ

C_w, C_{sh}, D_δ – коэффициенты в (8), (9);
 C_{rough} – коэффициент в (11);
 D – фрактальная размерность;
 q – плотность теплового потока, Вт/м²;
 R – радиус пузырька, м;
 t – время, с;
 x – координата, м;
 α – коэффициент теплоотдачи, Вт/(м²·К);
 θ – перегрев, К.

СПИСОК ЛИТЕРАТУРЫ

1. Solodov A.P. Computer Model of Nucleate Boiling. In: Convective Flow and Pool Boiling. 1999. Taylor & Francis. Philadelphia. P. 231–238.
2. Солодов А.П., Исаченко В.П. Статистическая модель капельной конденсации // ТВТ. 1967. Т.5. № 6. С. 1032–1039.
3. Асимптотический анализ капельной конденсации / В.П. Исаченко, А.П. Солодов, А.П. Мальцев, Е.В. Якушева // ТВТ. 1984. Т.22. № 5. С. 924 – 932.
4. Koffman L.D., Plesset M.S. Experimental Observations of the Microlayer in Vapor Bubble Growth on a Heated Solid // Journal of Heat Transfer. 1983. Vol.105. No. 3. P. 625–632.
5. Bertozzi A.L., The Mathematics of Moving Contact Lines in Thin Liquid Films // Notices of the AMS. 1998. Vol. 45. No 6. P. 690 – 697.
6. Лабунцов Д.А. Приближенная теория теплообмена при развитом пузырьковом кипении // Изв. АН СССР. Энергетика и транспорт. 1963. Т. 1. С. 58-71.
7. Федер Е. Фракталы. М.: Мир. 1988. 254 с.
8. Solodov A.P., Ochkov V.F. Differential models. An Introduction with Mathcad. Springer Berlin Heidelberg New York. 2004. 232 p.
9. Головин В.С., Кольчугин Б.А., Лабунцов Д.А. Экспериментальное исследование теплообмена и критического теплового потока при кипении воды // ИФЖ. 1963. Т. 6. № 2. С. 3 – 7.
10. Головин В.С., Кольчугин Б.А., Лабунцов Д.А. Исследование теплообмена и критического теплового потока при кипении воды на поверхностях из различных материалов // Труды ЦКТИ. 1965. № 58. С. 35 – 46.
11. Лабунцов Д.А. Вопросы теплообмена при пузырьковом кипении жидкости // Теплоэнергетика. 1972. № 9. С. 14 -19.
12. Moore F.D., Mesler R.B. The measurement of rapid surface temperature fluctuations during nucleate boiling of water // AIChE J. 1961. 7 (4). P. 620 – 624.